

Переменные звезды 22, № 1, 9–23, 1983

Variable Stars 22, No 1, 9–23, 1983

**Карты звезд сравнения и вторичные UBVR-стандарты
для наблюдений антивспыхивающих звезд**

А.Ф. Пугач, Г.У. Ковальчук

Приведены фотоэлектрические UBVR- величины 30 звезд сравнения к 15 антивспыхивающим звездам. Кратко описаны методики учета нелинейности аппаратуры, учета атмосферной экстинкции и перевода инструментальных величин в стандартную систему. Приведены ошибки измерений. К каталогу величин прилагаются карты 15 звездных площадок с измеренными звездами.

**Identification Charts and Secondary UBVR- Standards
to Observe the Antiflare Stars
by A.F. Pugach, G.U. Kovalchuk**

The photoelectric UBVR magnitudes catalogue and charts of 30 check-stars for 15 antiflare stars are given. The magnitudes have been corrected for a non-linearity and atmospheric extinction. A procedure of transformation of instrumental magnitudes to standard one is briefly described.

Настоящая публикация предпринята с целью стимулировать фотоэлектрические наблюдения антивспыхивающих звезд и обеспечить в известных пределах единство фотометрической системы последующих результатов.

Наблюдения вторичных стандартов проводились на 50-см рефлекторе Высокогорной наблюдательной базы ГАО АН УССР на пике Терскол ($h = 3100$ м над уровнем моря). В качестве приемника использовался терmostабилизированный при $t^o = +5^\circ\text{C}$ ФЭУ-79. Фильтры полос системы UBVR были скомпонованы из следующих цветных стекол:

U – УФС- 6, СЗС- 21; B – СС- 5, ЖС- 10, СЗС- 21;
V – ЖС- 18, СЗС- 21; R – КС- 14.

Величины первичных стандартов были взяты в основном из работы Джонсона и др., [1966]. Измерения проводились в ночи с подходящими астроклиматическими условиями вблизи меридiana.

Повышение точности в случайном отношении достигалось путем увеличения числа независимых измерений (наведений) в разные ночи. Минимизация систематических ошибок осуществлялась путем тщательной редукции наблюдений, включающей три этапа: линеаризацию отсчетов, учет атмосферной экстинкции и перевод инструментальных величин в стандартную систему Джонсона.

1. Исправление отсчетов за нелинейность осуществлялось эмпирическим путем. Предварительно путем измерения пар звезд с разностью блеска порядка $3^m - 5^m$ при искусственном изменении диаметра входного зрачка телескопа определялась их разность блеска. Яркости обеих звезд выбирались такими, чтобы при минимальном входном зрачке отсчеты по обеим звездам не выходили за пределы предполагаемой области линейности, а при максимальном открытии зрачка в область нелинейности попадала бы только яркая звезда. Такие пары отыскиваются методом подбора.

Описанная методика измерений позволила установить верхнюю границу потока, при превышении которой начинаются нелинейные искажения. Из представленного на рис. 1 графика следует, что таким граничным является поток $\sim 1.6 \cdot 10^5$ сек $^{-1}$.

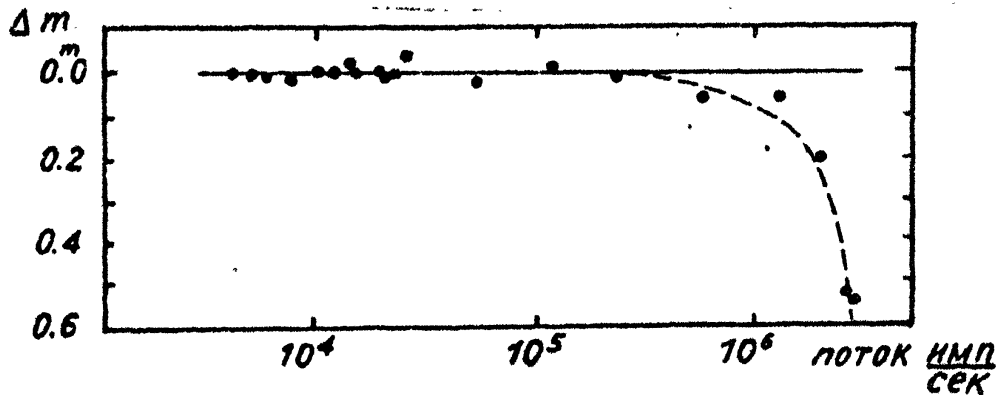


Рис.1. Результаты определения порога линейности. Против потока отложены вариации разности блеска между слабой и яркой звездами относительно среднего значения, принятого за условный нуль.

При потоках ниже этого разность блеска двух звезд сохраняется постоянной, но как только поток от более яркой звезды превышает критическое значение – разность уменьшается, т.к. отсчеты по одной звезде искажаются ("заваливаются") нелинейностью.

Опыт работы с нашей аппаратурой говорит о том, что поток $\sim 1.6 \cdot 10^5$ сек $^{-1}$ следует ожидать от звезды $5^m 5$ в фильтре V.

В связи с этим величины звезд первичных стандартов выбирались слабее $5^m 5$ (V). При отсутствии таких звезд приходилось работать с более яркими стандартами, но в этом случае зеркало телескопа прикрывалось до необходимого размера и использовались промежуточные (буферные) звезды.

Таким образом, борьба с нелинейностью регистрирующей аппаратуры велась не за счет численного учета этого эффекта (что не всегда гарантирует необходимую точность), а путем выбора режима наблюдений в области линейности.

2. Редукция за атмосферную экстинцию. Трудность точного учета ослабления света в атмосфере состоит прежде всего в том, что коэффициент экстинкции зависит от распределения энергии в спектре исследуемой звезды, то есть, в первую очередь, от ее спектрального класса и класса светимости.

Сначала численным методом были рассчитаны коэффициенты экстинкции чистой атмосферы $a_i(F_\lambda) \equiv a_i(S_p, L)$ для высоты 3100 м по формуле:

$$a_i(F_\lambda) = -2.5 \lg \frac{\int_0^\infty P_\lambda \cdot F_{S_p}(\lambda) \cdot T_i(\lambda) d\lambda}{\int_0^\infty F_{S_p}(\lambda) \cdot T_i(\lambda) d\lambda},$$

где $F_{S_p}(\lambda)$ – табличные функции распределения энергии в спектрах непокрасневших звезд разных температур и светимостей (Страйжис и Свидерскене, 1972);

$T_i(\lambda)$ – кривые реакции инструментальной фотометрической системы (об этом дальше), где индекс i относится к полосам U, B, V или R (Страйжис, 1977);

P_λ – результирующий коэффициент прозрачности, включающий рэлеевское рассеяние, поглощение озоном, молекулами кислорода и воды (Аллен, 1977).

Затем они были сопоставлены с величинами средних экспериментальных значений коэффициентов экстинкции a_0 , полученных на Терсколе из наблюдений в течение 21 ночи за период 1972–79 гг.

$$a_0(U) = 0.451 \pm 0.053 \quad a_0(V) = 0.157 \pm 0.039$$

$$a_0(B) = 0.239 \pm 0.041. \quad a_0(R) = 0.093 \pm 0.031$$

и так же, как и a_i , рассчитанных на I воздушную массу. Затем было предположено, что отличие a_i от a_0 вызывается присутствием аэрозоля с коэффициентом экстинкции β_i , влияние которого носит неселективный или слабо селективный характер, т.е.

$$a_{0i} = a_i + \beta_i.$$

Определяемые из этого соотношения значения β_i оказались следующими:

$$\beta_U = 0.051 \quad \beta_V = 0.046$$

$$\beta_B = 0.006 \quad \beta_R = 0.035.$$

Таким образом, при учете атмосферного ослабления мы использовали коэффициент экстинкции с селективной частью, зависящей от распределения энергии в спектре звезды, и предположительно неселективной добавкой β_i .

3. Перевод инструментальных величин в стандартную фотометрическую систему.

Прежде всего, на автоматическом спектрофотометре фирмы "Хитачи" были определены кривые пропускания комбинаций цветных стекол, формирующих полосы UBVR. Кривые реакции T_i инструментальной фотометрической системы, полученные умножением пропускания стекол на спектральную чувствительность "среднего" ФЭУ-79 (Страйжис, Зданович, 1970) с учетом пропускания кварцевой линзы поля и коэффициента отражения алюминированной поверхности (Аллен, 1977), указаны в табл. 1.

Затем для звезд разных спектральных классов I, III и V классов светимости были вычислены теоретические поправки δ_i , возникающие за счет несовпадения инструментальных T_i и стандартных T_{0i} кривых реакции системы UBV (Страйджис, 1977) и полосы R (Джонсон, Митчелл, 1962).

$$\delta_i(S_p, L) = -2.5 \lg \frac{\int_0^{\infty} F_{S_p}(\lambda) \cdot T_{0i}(\lambda) d\lambda}{\int_0^{\infty} F_{S_p}(\lambda) \cdot T_i(\lambda) d\lambda},$$

где $F_{S_p}(\lambda) \approx F(S_p, L)$ –табличные функции распределения энергии в спектрах непокрасневших звезд (Страйджис, Свидерскене, 1972). По этим поправкам δ_i к наблюдаемым величинам были определены поправки к цветам, дающие возможность измеренные величины V и цвета U–B, B–V и V–R каждой звезды перевести в стандартную систему UBVR. Рассчитанные поправки для звезд главной последовательности графически представлены на рис. 2 пунктиром.

Практическое использование теоретических поправок осложнилось тем обстоятельством, что в большинстве случаев нам не был известен

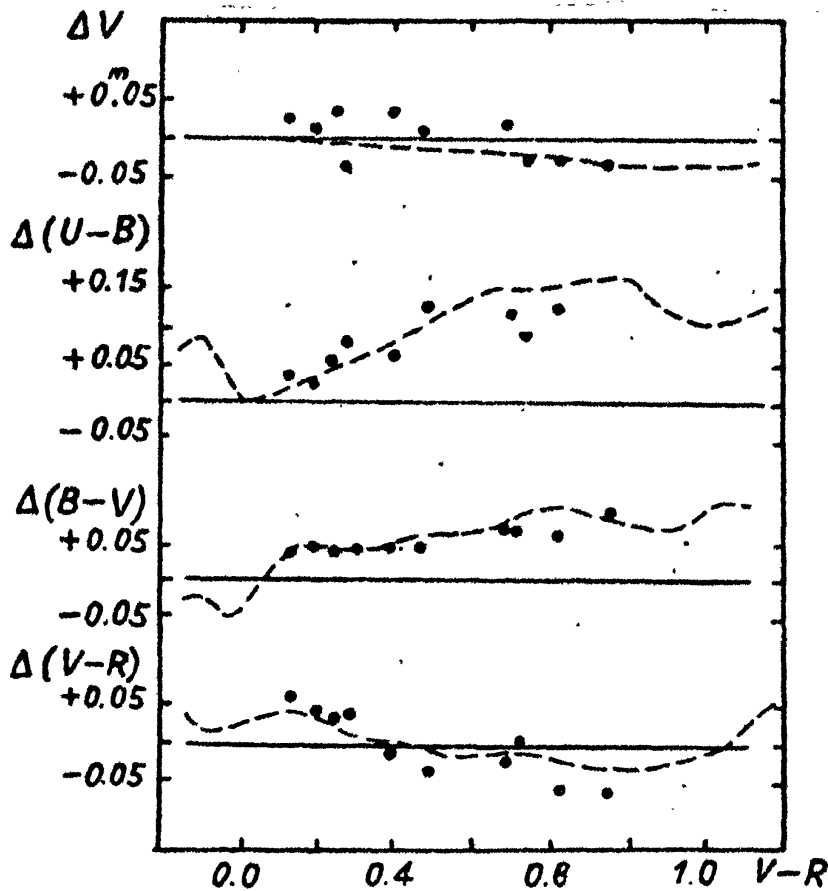


Рис.2. Зависимость цветовых поправок и поправки к величине V от наблюдаемого показателя цвета V–R, использованная для перевода измеренных значений блеска и цвета в стандартную систему (точки – наблюденные значения, пунктир – вычисленные)

спектр и класс светимости вторичных стандартов. Вместо этих отсутствующих данных мы использовали другую характеристику распределения энергии в спектре – показатель $V-R$, причем на графиках рис. 2 сразу отложен не истинный, а наблюдаемый показатель цвета $V-R$.

Трудно оценить, насколько адекватной является такая замена. Но в одном отношении ее преимущества очевидны: если излучение некоторой звезды подвержено межзвездному покраснению, то иногда показатель $V-R$ дает более точное представление о характере распределения энергии по длинам волн, чем спектр и класс светимости.

Для проверки правильности расчетного способа определения поправок для приведения величин и цветов в стандартную систему мы провели серию контрольных наблюдений в скоплении M44 звезд V класса светимости, имеющих разные показатели цвета $V-R$. Из этих наблюдений также были определены поправки к величинам и цветам, зависящие от показателя цвета $V-R$. Результаты обработки наблюдений нанесены на графике рисунка 2 кружками.

Сравнение расчетных и наблюденных поправок показывает, в общем, вполне удовлетворительное согласие. В дальнейших цветовых рефракциях мы пользовались исключительно расчетными данными, поскольку они, во-первых, учитывают нелинейный характер связи между поправкой и цветом и, во-вторых, охватывают широкий круг звезд разных спектров и светимостей, что получить наблюдательным путем удается не всегда.

Величины вторичных стандартов определялись так. Сначала величина и цвета первичного стандарта переводились, пользуясь графиками, в инструментальную систему. Затем к ним прибавлялись наблюденные разности между вторичным стандартом и первичным, и полученный результат снова при помощи графиков рис. 2 переводился в стандартную систему.

Результаты.

Содержание настоящей работы является каталог вторичных стандартов звезд сравнения для 15 антиспыхивающих звезд: SU Aur, VX Cas, SV Cep, BH Cep, BO Cep, V530 Cyg, UX Ori, IU Ori, V346 Ori, V351 Ori, V586 Ori, RZ Psc, XY Per, IP Per и WW Vul. Эти переменные и относящиеся к ним звезды сравнения указаны на прилагаемых картах. Карты пересняты из атласа Пападопулоса и Сковила (1980), где отражены звезды с предельной звездной величиной 13^m5 . Сторона квадрата на картах равняется 25 минутам дуги, север – вверху.

Каталог (табл. 2) содержит следующие сведения:

1. Название переменной.
2. Обозначение звезд сравнения.
- 3–6. U, B, V, R величины звезд сравнения.
- 7–10. ϵ_U , ϵ_B , ϵ_V и ϵ_R – ошибка определения среднего значения.
11. Обозначение первичного стандарта.
12. Количество ночей измерений N.
13. Общее количество независимых наведений на звезду n.
14. Примечания.

Таблица 2
Tabelle 2

Название перемен- ной	Спектральная группа	Величина			Ошибки			Первичный стандарт			N	n
		U	B	V	R	ε _U	ε _B	ε _V	ε _R	BS 1566	BS 1670	+57°28'13"
SU Aur	b	10 ^m .610	9 ^m .723	8 ^m .999	8 ^m .008	0 ^m .007	0 ^m .006	0 ^m .005	BS 1566	BS 1670	7	6
VX Cas	b	9.936	10.029	9.718	9.348	8	7	8	5	5	6	6
SV Cep	b	11.435	11.436	11.201	10.933	8	7	6	6	6	10	2
BH Cep	c	11.263	11.429	11.045	10.686	14	14	14	24	7	10	2
BH Cep	k	11.632	11.232	10.859	10.483	19	19	20	20	11	6	6
BH Cep	g	12.306	11.853	11.223	10.506	19	19	12	12	11	4	7
BO Cep	c	11.759	11.480	11.091	10.759	7	7	11	11	11	5	6
BO Cep	c	14.941	13.201	12.091	10.621	-	-	-	-	-	1	2
V530 Cyg	b	11.867	11.586	10.901	10.190	6	10	12	14	14	6	6
V530 Cyg	c	12.389	12.173	11.478	10.884	13	18	6	11	11	4	6
UX Ori	c	11.994	11.969	11.675	11.412	7	7	6	6	6	4	4
UX Ori	c	13.510	12.897	11.981	11.514	7	7	6	6	6	4	4
IU Ori	f	11.22	11.21	10.77	-	-	-	-	-	-	4	4
IU Ori	e	11.46	11.33	10.72	-	-	-	-	-	-	5	5
IU Ori	s	13.20	12.15	11.07	10.30	-	-	-	-	-	5	5
V346 Ori	c	9.88	10.20	9.87	9.25	9.25	9.25	9.25	9.25	9.25	6	6
V351 Ori	c	10.110	10.218	9.942	9.942	10.308	10.308	10.308	10.308	10.308	5.5	5.5
V586 Ori	e	10.701	10.624	10.624	10.624	9.043	9.043	9.043	9.043	9.043	6,8	6,8
V586 Ori	f	9.389	9.361	9.361	9.361	11.106	11.106	11.106	11.106	11.106	5	5
V586 Ori	f	11.322	11.106	10.527	10.527	11.41	11.41	11.41	11.41	11.41	5	5
X Y Per	e	11.55	11.41	10.88	10.88	11.69	11.69	10.83	10.83	10.83	7	7
X Y Per	e	12.18	11.69	10.83	10.83	10.15	10.15	10.15	10.15	10.15	4	4
IP Per	a	10.536	10.207	9.752	9.362	6	6	6	6	6	6	6
IP Per	a	10.685	10.667	10.075	9.580	5	5	5	5	5	3	3
RZ Psc	g	11.879	11.852	11.284	10.743	9	9	9	9	9	4	7
RZ Psc	g	11.655	11.525	10.869	10.331	10	10	10	10	10	3	3
WW Vul	s	12.638	12.437	11.717	11.157	10	10	10	10	10	2	2
WW Vul	s	13.750	13.073	12.031	11.241	21	21	21	21	21	1	1
WW Vul	s	11.656	11.450	11.004	10.553	18	18	18	18	18	7	7
WW Vul	s	11.261	11.068	10.517	10.029	9	9	9	9	9	9	9

Таблица 1

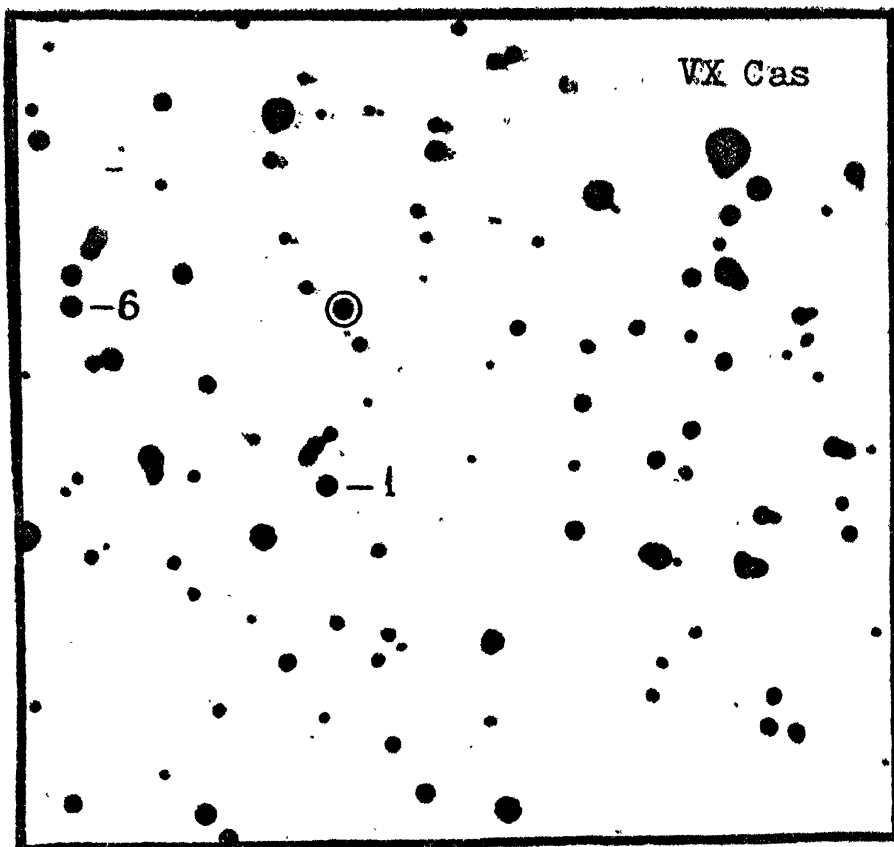
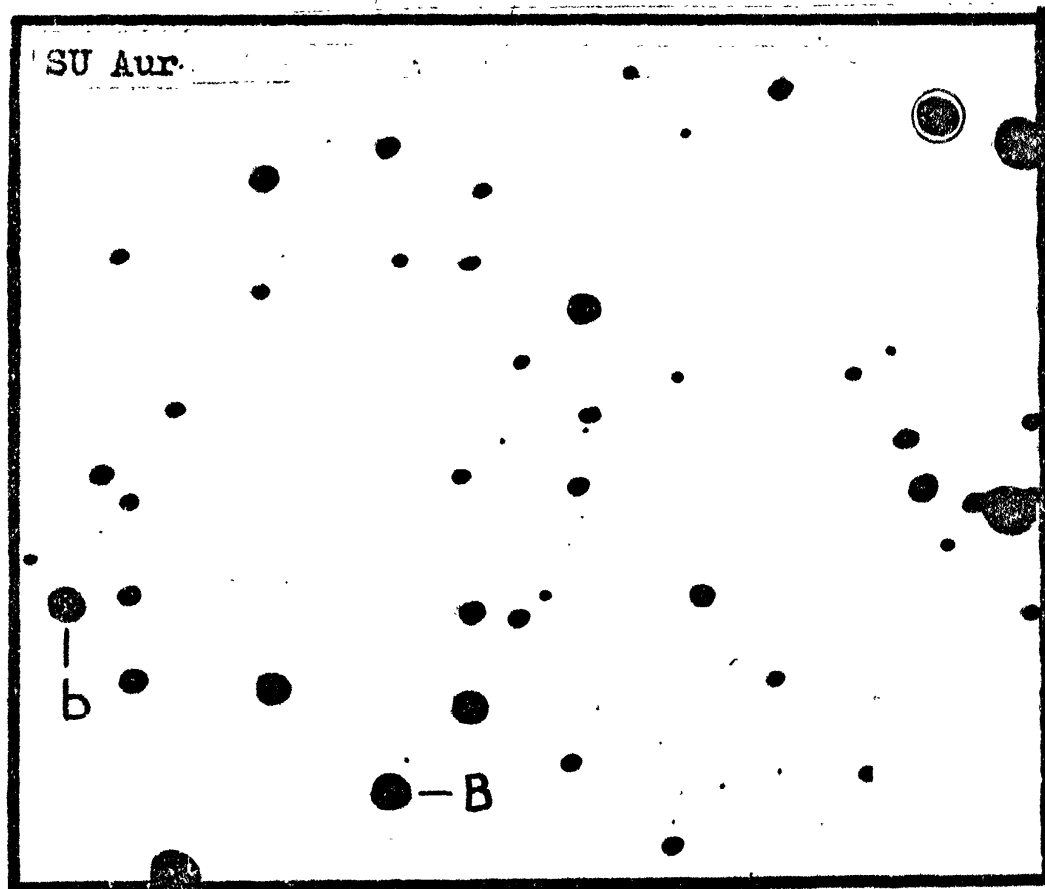
Кривые реакции инструментальной фотометрической системы

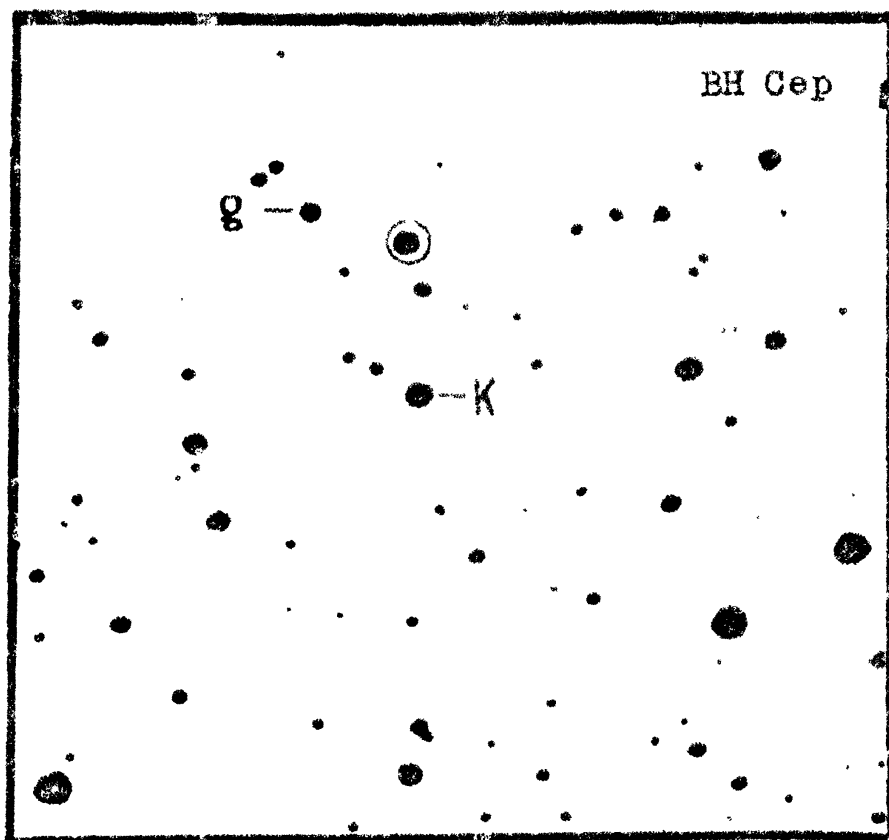
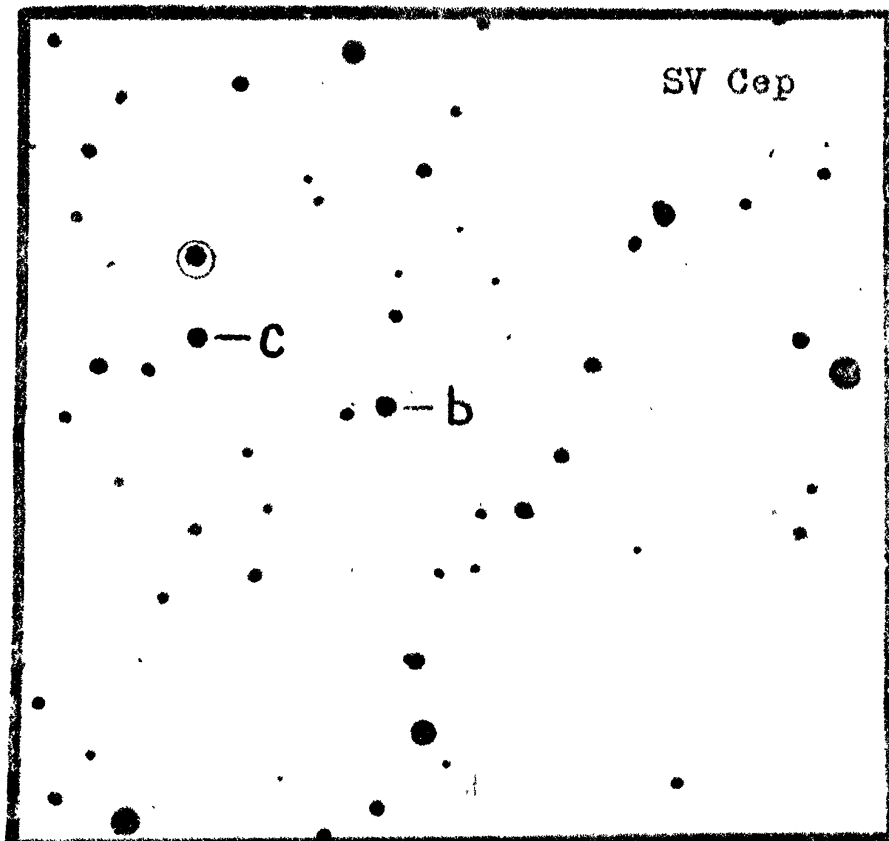
λ	Пропускание			
	T_U	T_B	T_V	T_R
3200	0.000			
300	.025			
400	.258			
500	.637			
600	.933	0.000		
700	.994	.018		
800	.769	.052		
900	.255	.146		
4000	.010	.314		
200	.000	.894		
400		1.000		
600		.844	0.000	
800		.449	.020	
5000		.095	.362	
200		.008	.964	
400		.000	.941	
600			.730	
800			.501	
6000			.256	0.000
200			.100	.0007
400			.028	.508
600			.000	1.000
7000				.796
400				.503
800				.238
8200				.066
600				.017
9000				.000

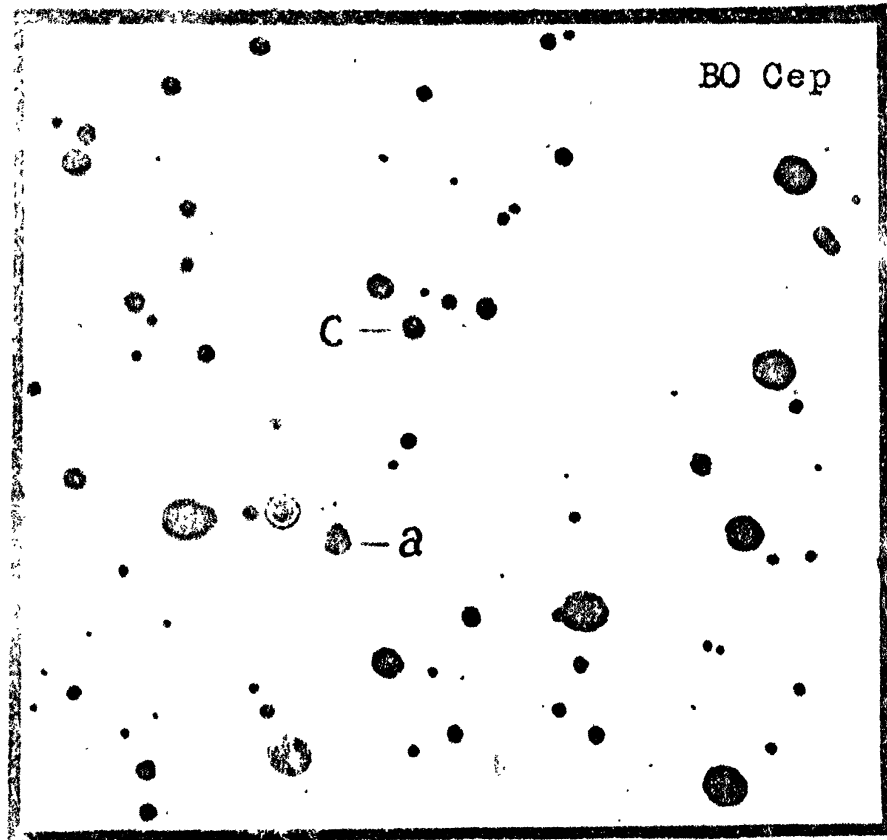
Приложения. 0. Величины первичных стандартов, полученных под индексом BS, взяты из работы Дженсона и др. (1965); 1. В таблице для звезды "b" указано формальна ошибка ϵ_U . Фактически, приложено к звезде κ вдвое меньшее значение блеска звезды "b" с отклонением около ± 0.03 . В остальных полосах — там в полосе V получены неодинаковые значения величин звезды "b" из работы Нэнди (1978); 3. Очень красная, переход в стандартную систему неизвестный; 4. Величины звезды сближения взяты из работы Зайчесой (1973); 5. Величины звезды сближения взяты из работы Пекстон, (1973); 6. Величины первичного стандарта звезды из работы Мендоэса (1967); 7. Величины звезды сближения звезды из работы Эндрюса (1974); 8. Двойная звезда.

Карты звезд сближения
для антиспутниковых звезд

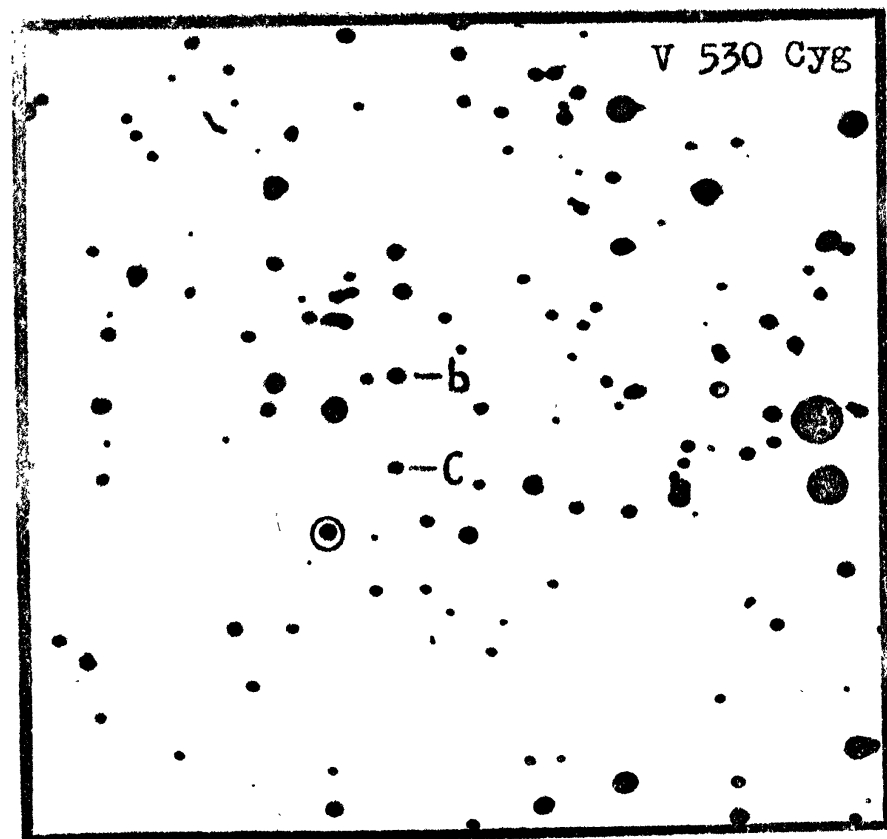




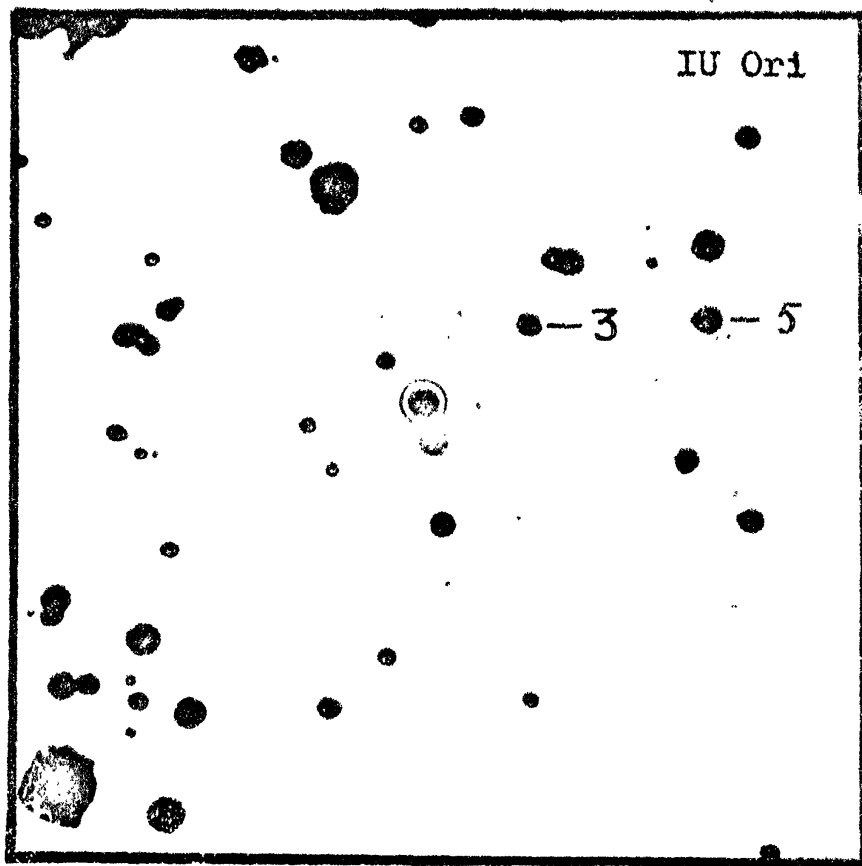
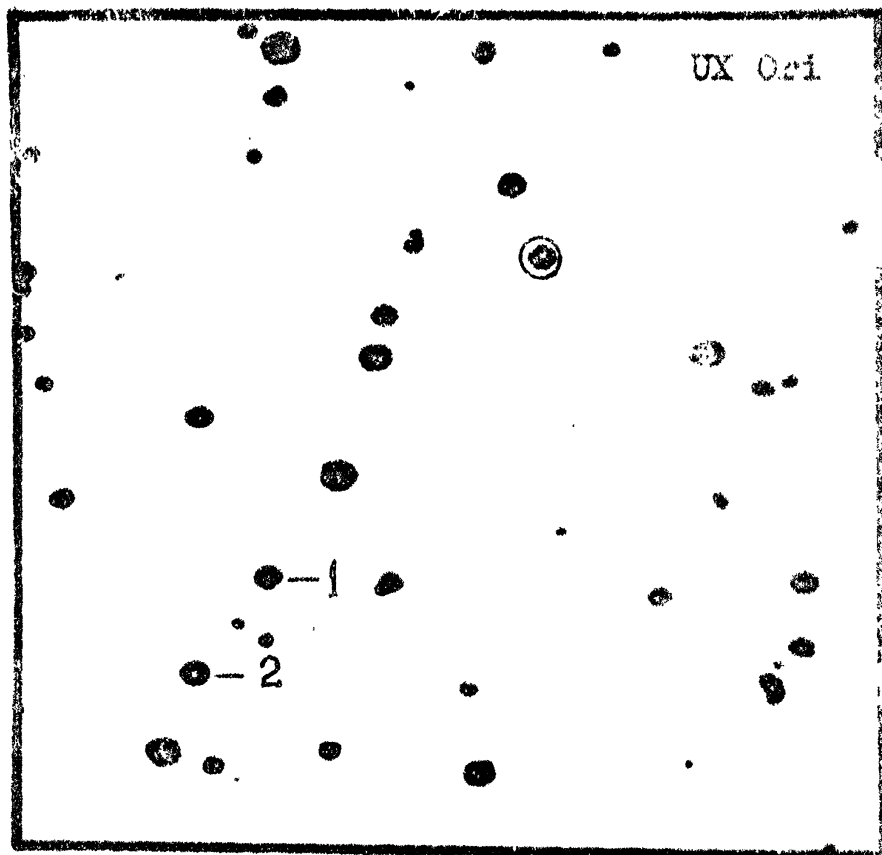


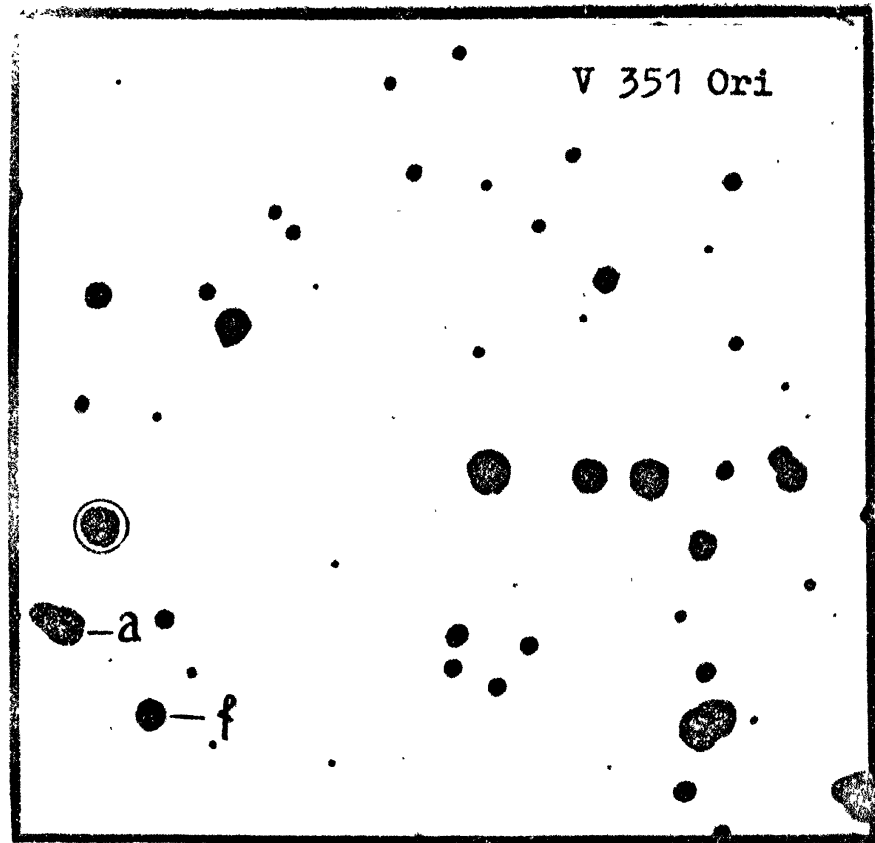
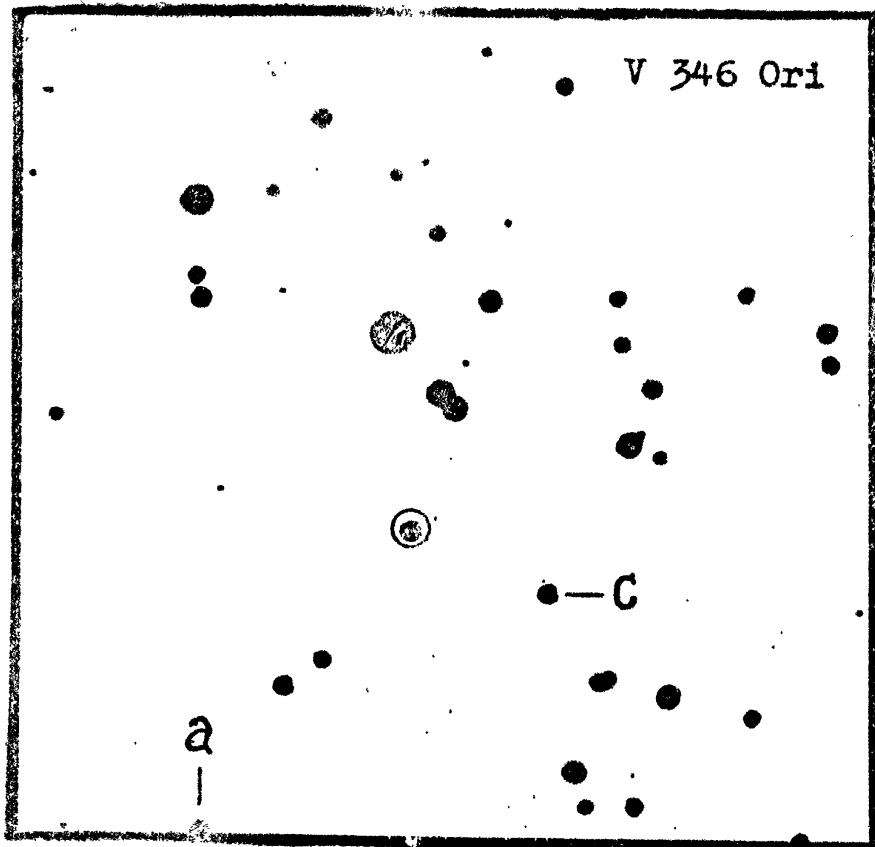


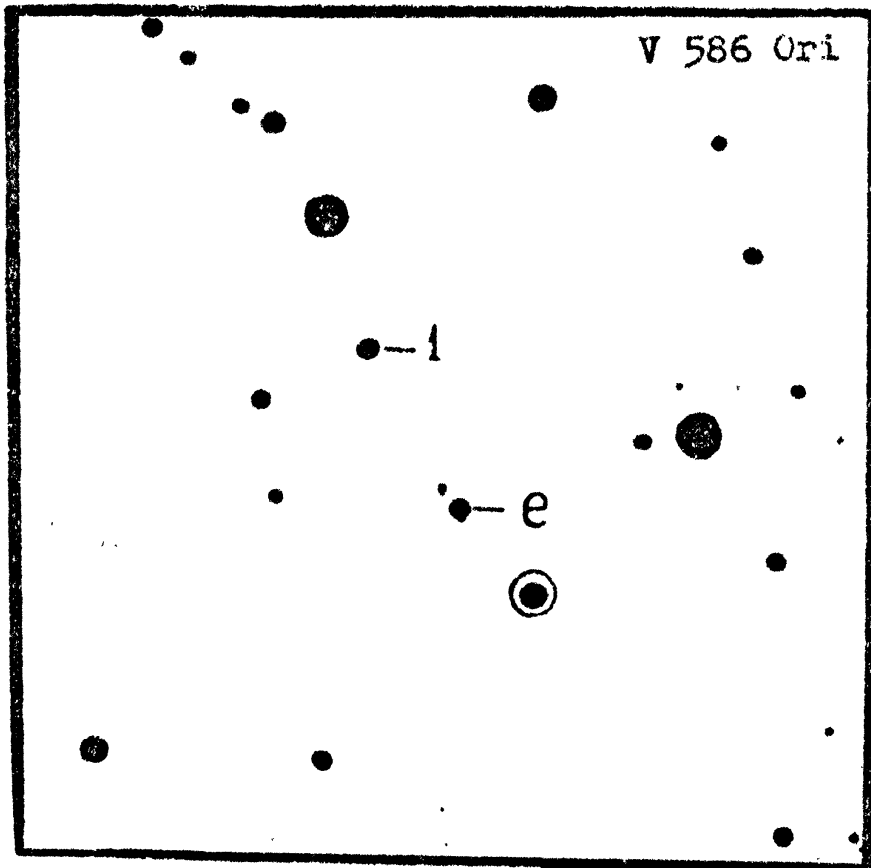
BO Cep



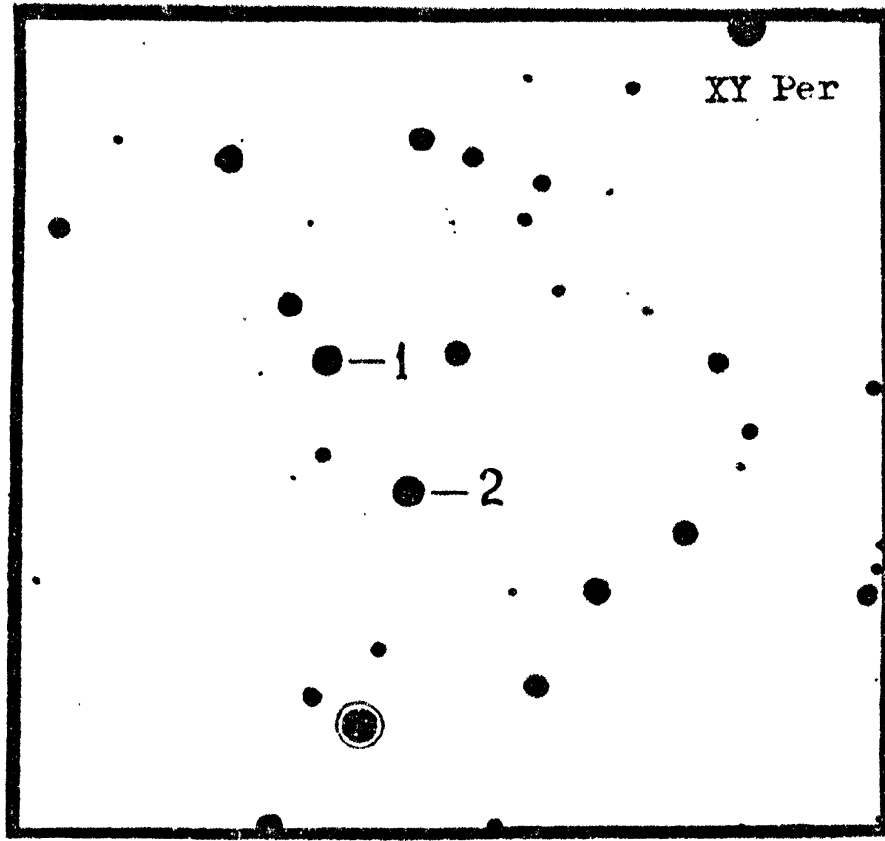
V 530 Cyg



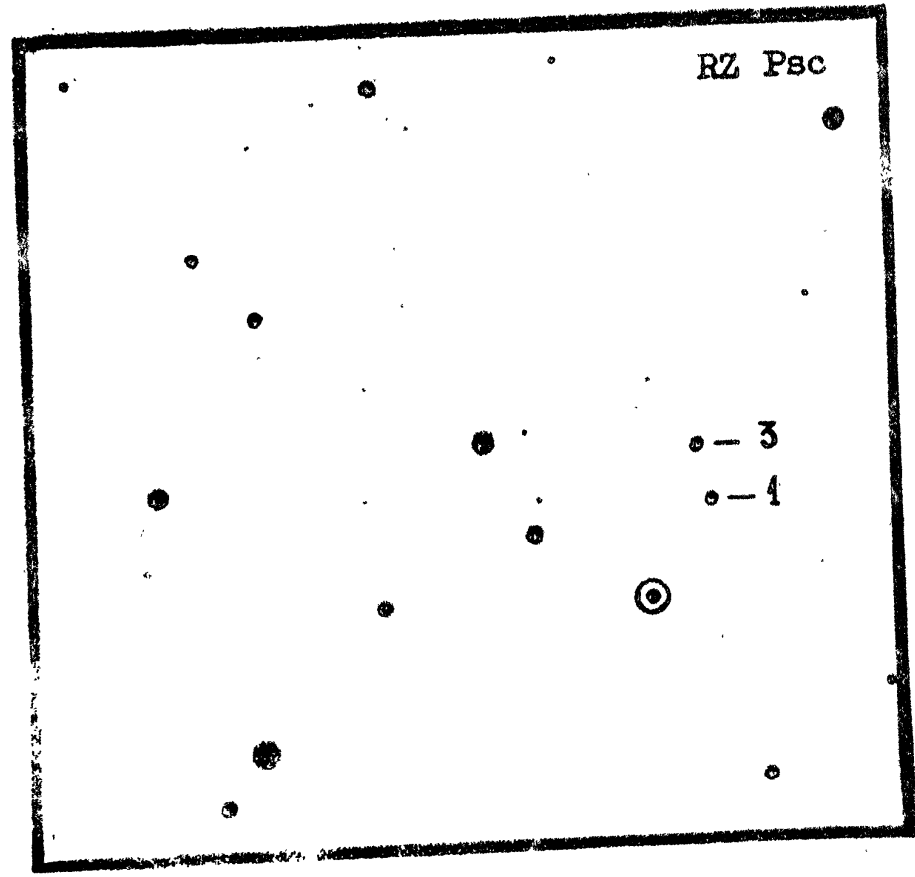
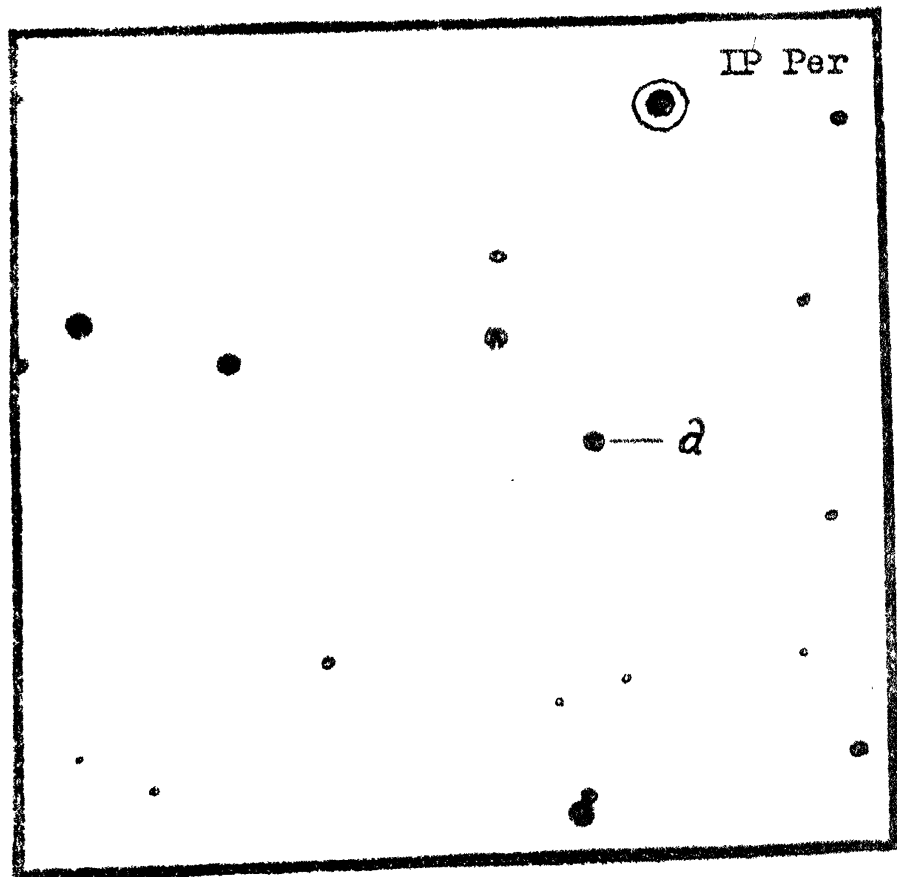




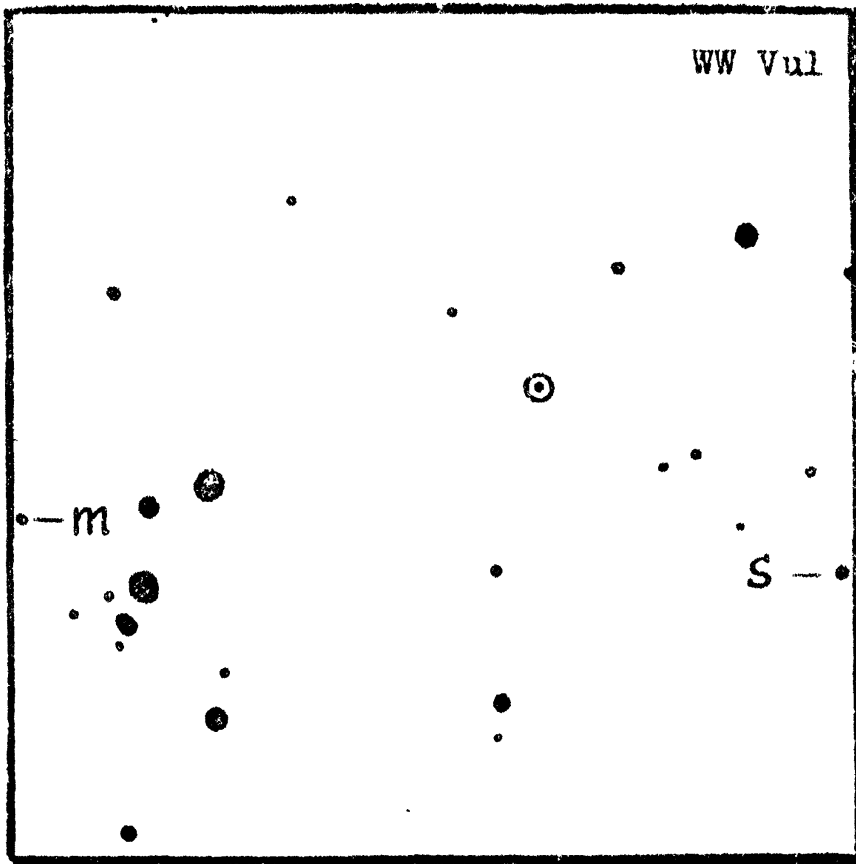
V 586 Ori



XY Per



WW Vul



Л и т е р а т у р а

- Аллен К.У., 1977, Астрофизические величины, "Мир", Москва.
Джонсон, Митчелл, 1962 — Johnson H.L., Mitchell R.I., Arizona Comm. **1**, 73.
Джонсон и др., 1966 — Johnson H.L., Mitchell R.I., Iriarte B., Wiśniewski W.Z., Arizona Comm. **4**, 99.
Зайцева Г.В., 1973, ПЗ **19**, 63.
Мендоза, 1967 — Mendoza E.E., TTB **4**, 149.
Нэнди и др., 1978 — Nandy K., Smriglio F., Buonanno R., Edinburg Publ. **9**, 125.
Пападопулос и Сковил, 1980 — Papadopoulos Ch., Scovil Ch., "True visual magnitude photographic star atlas", Pergamon Press, Oxford.
Пенстон, 1973 — Penston M.V., ApJ **183**, 505.
Страйжис В., Зданавичюс К., 1970, Вильнюс. Бюлл. № 29, 15.
Страйжис В., Свидерскене З., 1972, Вильнюс. Бюлл. № 35, 3.
Страйжис В., 1977, "Многоцветная фотометрия звезд", изд. "Мокслас", Вильнюс.
Эндрюс, 1974 — Andrews A.P., Bol. Inst. Tonantz. **1**, 101.

Главная астрономическая обсерватория
АН Украинской ССР, г. Киев

Поступила в редакцию
28 декабря 1982 г.

